

**特点**

- 全扩散工艺，分布式扩散放大门极
- 开关损耗低，优良的动态特性
- 优良的高频性能，适用频率2.5-10KHz
- 平板型陶瓷管封装，双面冷却

**典型应用**

- 逆变器、电焊机
- 斩波器、感应器
- 各种类型的强迫换流器

$I_{T(AV)}$	1200A
$V_{DRM}/V_{RRM}$	800-2500V
$T_q$	8-15us
$I_{TSM}$	14KA

符号	参数	测试条件	结温 $T_J(^{\circ}C)$	参数值			单位
				最小	典型	最大	
$I_{T(AV)}$	通态平均电流	180° 正弦半波, 50HZ 双面散热, THS=98°C	125			1200	A
$V_{DRM}$ $V_{RRM}$	断态重复峰值电压 反向重复峰值电压	$V_{DRM} \& V_{RRM} \text{ tp}=10\text{ms}$ $V_{DSM} \& V_{RSM} = V_{DRM} \& V_{RRM} + 100\text{V}$	125	800		2500	V
$I_{DRM}$ $I_{RRM}$	断态重复峰值电流 反向重复峰值电流	$V_{DM} = V_{DRM}$ $V_{RM} = V_{RRM}$	125			100	mA
$I_{TSM}$	通态不重复浪涌电流	10ms 底宽正弦半波	125			14	KA
$I^2t$	浪涌电流平方时间积	$V_R = 0.6V_{RRM}$				1445	$A^2S \cdot 10^3$
$V_{TO}$	门槛电压		125			1.27	V
$r_T$	斜率电阻					0.23	$m\Omega$
$V_{TM}$	通态峰值电压	$I_{TM} = 3000\text{A}, F = 7.0\text{KN}$	125			3.2	V
dv/dt	断态电压临界上升率	$V_{DM} = 0.67V_{DRM}$	125			1000	V/us
di/dt	通态电流临界上升率	$V_{DM} = 67\% V_{DRM}$ TO 800A, 门极脉冲 $t_r \leq 0.5\mu\text{s}$ $I_{GM} = 1.5\text{A}$ 重复值	125			1200	A/us
$I_{TM}$	反向恢复电流	$I_{TM} = 3000\text{A}, t_q = 1000\mu\text{s}$ $di/dt = -20\text{A}/\mu\text{s}$ $V_r = 50\text{V}$	125		60		A
$t_{rr}$	反向恢复时间				3.0		$\mu\text{s}$
$Q_{rr}$	恢复电荷				90	110	$\mu\text{C}$
$t_q$	电流换相关断时间	$I_{TM} = 3000\text{A},$ $t_q = 1000\mu\text{s}, V_R = 50\text{V}$ $dv/dt = 30\text{V}/\mu\text{s}, di/dt = -20\text{A}/\mu\text{s}$	125	8		15	$\mu\text{s}$
$I_{GT}$	门极触发电流	$V_A = 12\text{V}, I_A = 1\text{A}$	25	30		300	mA
$V_{GT}$	门极触发电压			0.8		3.0	V
$I_H$	维持电流			20		400	mA
$V_{GD}$	门极不触发电压	$V_{DM} = 0.67V_{DRM}$	125	0.3			V
$R_{th(j-h)}$	热阻抗(结至散热器)	双面散热, 压紧力 70KN				0.022	$^{\circ}C/W$
$F_M$	安装力			21		30	KN
$T_{stq}$	储存温度			-40		140	$^{\circ}C$
$W_t$	质量						g
Outlin	外形						

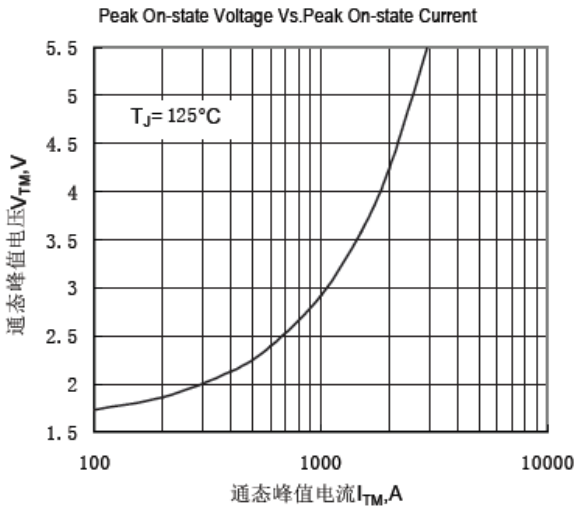


Fig.1 通态伏安特性曲线

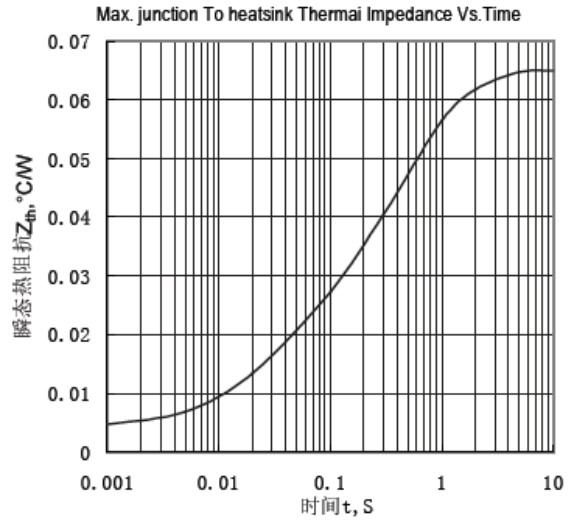


Fig.2 结至散热器瞬态热阻抗曲线

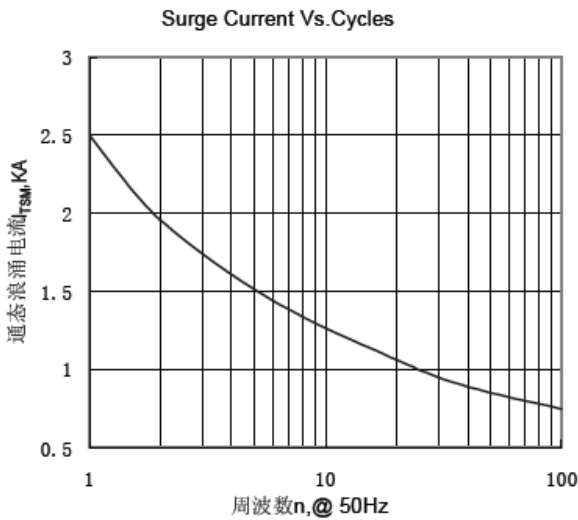


Fig.3 通态浪涌电流与周波数的关系曲线

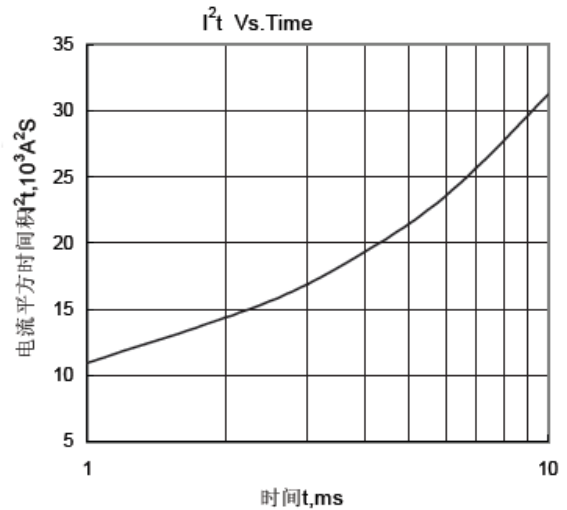
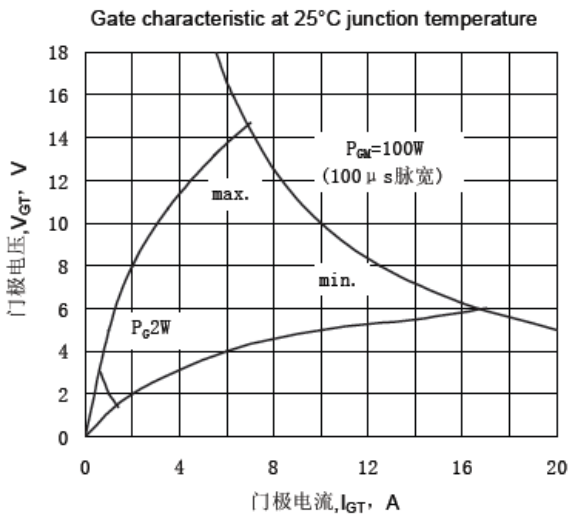

 Fig.4  $I^2t$  特性曲线


Fig.5 门极功率曲线

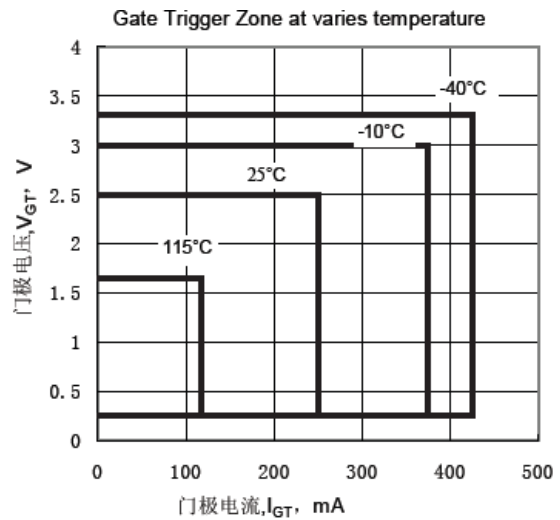



Fig.6 门极触发特性曲线

外形图: 

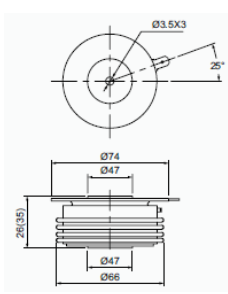


图 1

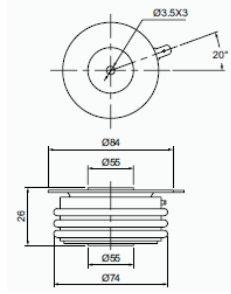


图 2

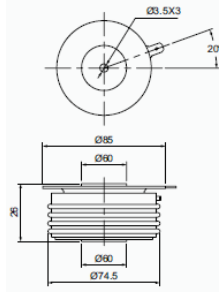


图 3